

Fig. 4. Standard free energy of formation of Fe₃O₄.

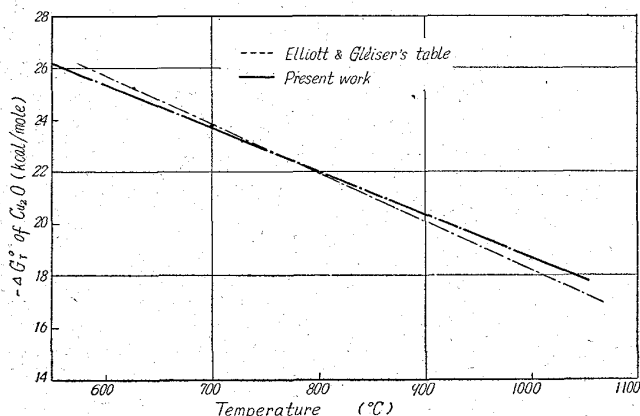


Fig. 5. Standard free energy of formation of Cu₂O.

物の標準生成自由エネルギーを測定し、その温度による函数式を提示した。

本実験で得られた式と従来の数値およびその精度を比較するとき、本実験結果の式は実際にすぐ使用して良いと考えられる。
669, 15125, 1775-196-154, 669
15'27'775-196-154=541, 27
775-669, 25=669, 27

(96) 溶鉄中の硫黄の活量におよぼすコバルトおよびタンゲステンの影響

関西大学工学部 工博○森 田 善一郎
大阪大学工学部 工博 足 立 彰

Effects of Cobalt and Tungsten on the Activity of Sulphur in Molten Iron.

Dr. Zen-ichiro MORITA
and Dr. Akira ADACHI.

I. 緒

言 63286

溶鉄中の硫黄の活量ならびにそれにおよぼすタンゲステンおよびクロムの影響については、前報^{1)~3)}においてすでに一部報告した。また特にタンゲステンの影響に関しては、実験に使用したフェロタンゲステンがC, Si,

1438~1440

など硫黄の活量に強い影響をおよぼすと考えられる元素ならびにその他の影響未知の元素をわずかではあるが含んでおり、一方データにも可成りのばらつきがあつたため、さらに検討を加える必要があることを述べた。そこで今回はコバルトの影響につき新しく検討を加えた結果ならびにタンゲステンの影響につき再検討した結果をここに報告する。

II. 実験方法

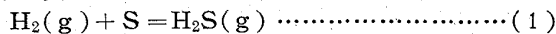
前報^{1)~3)}と同様な方法により、Fe-Co-S系およびFe-W-S系合金溶鉄とH₂-H₂S混合ガスとの平衡関係を測定し、それより溶鉄中の硫黄の活量におよぼすコバルトおよびタンゲステンの影響を検討した。実験試料としては、市販の電解鉄、純金属コバルト(99.9%)、純タンゲステン粉末(99.9%)、および研究室にて調製した硫化鉄を用い、また試料の溶解用るつぼとしては、市販のアルミナ製のもの(SSA)を用いた。そのほか実験装置、実験操作などは、すべて前報におけると同様である。なお、試料中の硫黄およびコバルトの分析は重量法により、またタンゲステンの分析には容量法と比色法とを併用した。

III. 実験結果

以上の方法でFe-Co-S系については主として1650°C, 0~18%Co, Fe-W-S系については主として1600°C, 0~15%Wの温度および濃度範囲において実験を行なつた。Table 1はその実験結果を示す。

IV. 考察

Fe-X-S系溶鉄中の硫黄とH₂-H₂S混合ガスとの平衡関係は次式で示される。



$$K_S = P_{H_2S}/P_{H_2} \alpha_S = P_{H_2S}/P_{H_2} f_S^{(S)} f_S^{(X)} [\% S] \quad \dots \dots \dots (2)$$

ここで

$$K_S' = P_{H_2S}/P_{H_2} [\% S] \quad \dots \dots \dots (3)$$

とおけば、溶鉄中の硫黄に対する成分Xの相互作用係数f_S^(X)はつぎのごとく導かれる。

$$\log f_S^{(X)} = \log K_S' - \log K_S - \log f_S^{(S)} \quad \dots \dots \dots (4)$$

ここでlog K_Sおよびlog f_S^(S)については、前報¹⁾においてつぎのごとく示されている。

$$\log K_S = -3200/T - 0.862 \quad \dots \dots \dots (5)$$

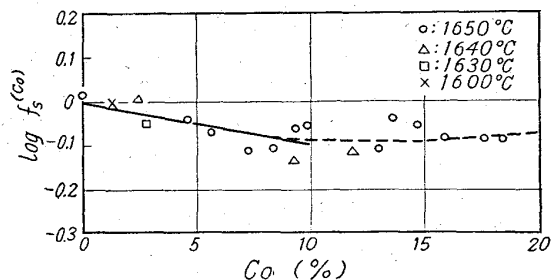
$$\log f_S^{(S)} = (233/T - 0.153) [\% S] \quad \dots \dots \dots (6)$$

さて、溶鉄中の硫黄の活量係数におよぼすコバルトおよびタンゲステンの影響はそれぞれf_S^(Co)およびf_S^(W)で示される。そこで本実験結果より(4), (5), (6)式の関係を用いてlog f_S^(Co)を求め、コバルト濃度に対して示すと、Fig. 1のごとくになる。

すなわちf_S^(Co)は、Fig. 1の破線の関係で示されるように、約10%Coまではコバルト濃度とともに減少するが、それ以上の濃度ではこの傾向はなくなり、むしろごくわずかではあるが逆に増大する傾向があることが認められる。一方ALCOCKらの結果⁴⁾では、f_S^(Co)はコバルト濃度とともに増大することが示されているが、本結

Table 1. Experimental results.

Heat No.	Temp (°C)	Final S %	Final Co %	Final W %	P _{H₂S} /P _{H₂} × 10 ³		K' _S × 10 ³	log K' _S	log f _S ^(Co)	log f _S ^(W)
					Observed	Corrected				
Co-1	1650	1.34	0	—	3.86	3.72	2.78	-2.556	+0.012	—
Co-2	1600	1.96	1.3	—	4.71	4.58	2.34	-2.631	-0.004	—
Co-3	1640	0.87	2.5	—	2.47	2.40	2.76	-2.559	+0.003	—
Co-4	1630	2.50	2.8	—	5.59	5.35	2.14	-2.670	-0.050	—
Co-5	1650	2.15	4.6	—	5.26	5.05	2.35	-2.629	-0.034	—
Co-6	“	1.20	5.6	—	2.90	2.80	2.33	-2.633	-0.069	—
Co-7	“	2.06	7.1	—	4.24	4.08	1.98	-2.703	-0.111	—
Co-9	“	1.89	8.4	—	3.99	3.84	2.03	-2.693	-0.107	—
Co-10	1640	2.39	9.3	—	4.53	4.35	1.82	-2.740	-0.131	—
Co-11	1650	0.61	9.4	—	1.55	1.51	2.48	-2.605	-0.060	—
Co-12	“	1.12	9.9	—	2.76	2.67	2.42	-2.616	-0.054	—
Co-13	“	1.76	13.6	—	4.35	4.18	2.38	-2.623	-0.041	—
Co-14	1640	1.73	11.7	—	3.52	3.39	1.96	-2.708	-0.119	—
Co-15	1650	1.09	13.0	—	2.37	2.32	2.13	-2.672	-0.112	—
Co-17	“	1.00	14.7	—	2.54	2.46	2.46	-2.609	-0.051	—
Co-18	“	1.51	15.8	—	3.47	3.34	2.21	-2.656	-0.082	—
Co-19	“	1.42	18.3	—	3.23	3.12	2.20	-2.658	-0.087	—
Co-20	“	0.66	17.6	—	1.56	1.52	2.30	-2.638	-0.091	—
W-1	1600	0.89	—	1.8	2.15	2.11	2.36	-2.627	—	-0.031
W-2	“	0.71	—	2.2	1.83	1.80	2.54	-2.595	—	-0.005
W-3	“	0.67	—	2.7	1.83	1.80	2.71	-2.567	—	+0.021
W-6	1610	2.75	—	5.9	7.18	6.98	2.54	-2.595	—	+0.046
W-7	1600	0.80	—	9.2	2.13	2.09	2.62	-2.582	—	+0.012
W-8	“	0.74	—	10.6	1.86	1.83	2.48	-2.606	—	-0.014
W-9	“	0.73	—	12.1	2.08	2.04	2.79	-2.554	—	+0.037
W-10	“	0.77	—	15.4	2.18	2.14	2.78	-2.556	—	+0.036

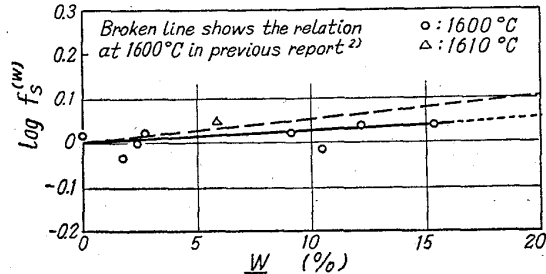
Fig. 1. Relation between $\log f_S^{(Co)}$ and cobalt concentration in Fe-Co-S alloys.

果は彼らの結果とは一致せず、逆の挙動を示している。また、Fig. 1 には 1650°C 以外の温度における結果も 2, 3 示されており、ここでは特に温度による差は認められないが、本実験点が少ないと、実験温度範囲が狭いことおよび実験精度の点などからみて、本結果のみでもつて $f_S^{(Co)}$ の温度依存性を断言することはできない。

そこで、いま 0~10%Co における $\log f_S^{(Co)}$ とコバルト濃度の関係を近似的に直線関係で示してみるとつぎのごとくになる。

$$\log f_S^{(Co)} = -0.010[\%Co] \quad \dots \dots \dots \quad (7)$$

Fig. 1 における実線はこの関係を示す。これより、10%Co 以下における Fe-Co-S 系溶鉄中の硫黄に対するコバルトの相互作用助係数および相互作用母係数を求めると、 $e_S^{(Co)} = -0.010$, $\epsilon_S^{(Co)} = -2.43$ となり、ALCOCK

Fig. 2. Relation between $\log f_S^{(W)}$ and tungsten concentration in Fe-W-S alloys.

らの結果⁴⁾より斎藤らの計算による推定値⁵⁾と可成りよく一致する。

つぎに $\log f_S^{(W)}$ を以上と同様な方法で求め、タングステン濃度に対して示すと、Fig. 2 のごとくになる。図中破線は、前報²⁾の 1600°C における関係を示す。

すなわち $f_S^{(W)}$ はタングステン濃度とともにごくわずかに増大することが認められるが、この傾向は前報²⁾におけるよりもさらに小さくなっている。この差の一部は勿論前実験で使用したフェロタングステン中の C, Si など他成分の相互作用によるものであろうが、それにしても、本実験結果から得られた $f_S^{(W)}$ は、前報の他成分の影響をそれらの含有量から考慮して予想される値よりもなお低い値を示している。そこで Fig. 2 における $\log f_S^{(W)}$ とタングステン濃度との関係を近似的に直線関係として示してみるとつぎのごとくになる。

また、これより溶鉄中の硫黄に対するタンゲステンの相互作用助係数および相互作用母係数を求める
 $e_s^{(W)} = 0.002$, $e_{\xi}^{(W)} = 1.52$ となる。

$e_s^{(W)} = 0.002$, $\epsilon_s^{(W)} = 1.52$ となる.

つぎに WAGNER の関係式⁶⁾より $e_{Co}^{(S)}$ やび $e_w^{(S)}$ を求めると、それぞれ $e_{Co}^{(S)} = -0.018$, $e_w^{(S)} = 0.011$ となる。

V. 結 言

Fe-Co-S 系および Fe-W-S 系合金溶鉄中の硫黄と H₂-H₂S 混合ガスとの 1600~1650°C における平衡関係を測定し、それより溶鉄中の硫黄の活量におよぼすコバルトおよびタンクスチタンの影響を検討した。その結果、 $f_S^{(Co)}$ は約 10% Co まではコバルト濃度の増加とともに減少するが、それ以上のコバルト濃度では逆にわずかに増大の傾向を有し、また $f_S^{(W)}$ はタンクスチタン濃度とともにごくわずかに増大する傾向を示すが、この傾向は前報の結果よりも小さいことが認められた。

文 献

- 1) 足立, 森田: 鉄と鋼, 44 (1958), p. 637
 - 2) 足立, 森田: 鉄と鋼, 44 (1958), p. 965
 - 3) 足立, 森田, 宗実: 鉄と鋼, 46 (1960), p. 1241
 - 4) C. B. ALCOCK, L. L. CHENG: J. Iron and Steel Inst. (U.K.), 195 (1960), p. 169
 - 5) 和田, 斎藤: 日本金属学会誌, 25 (1961), p. 159
 - 6) C. WAGNER: Thermodynamics of alloys.

(1952), p. 51
669.14 : 669.046, 584.2 : 669.046
552.5 : 541.124

(97) 硅酸飽和 $MnO-FeO(-CaO)-SiO_2$
スラグによる溶鉄の拡散脱酸速度について 43287

(鋼の脱酸の速度論的研究—VI)
東京大学工学部

○佐野信雄・塙見純雄・工博 松下幸雄
 On the Deoxidation Rate of Liquid Iron by Diffusion with the Slag, $\text{FeO}-\text{MnO}-\text{CaO}$ Saturated with Silica.
 (Kinetic study of the deoxidation of steel. VI)

Nobuo SANO, Sumio SHIOMI
and Dr. Yukio MATSUBARA

上 緒

従来までの珪素およびマンガンによる強制脱酸の研究(鉄と鋼, 47 (1962) No. 3 p. 358 他)に引き続き、酸化鉄の少ないスラグを含酸素溶鉄と反応させた場合のいわゆる拡散脱酸速度について検討した。実際的にも電気炉などの還元期で利用されているこの方法の機構が解明されれば、一次脱酸生成物を含まない極めて清浄な鋼を製造する方法として、拡く利用価値があるものと考えられる。

本報告では、従来の報告と関連して珪酸飽和の MnO - FeO (-CaO) 系のスラッガを用い、脱酸反応に附隨する

マンガン、珪素、鉄の反応を含めた全反応の機構を速度論的見地から追求した。

II. 実験方法

既述の黒鉛螺旋抵抗炉を用いて、電解鉄 500 g を珪酸
坩堝（内径約 55 mm, 高さ 70 mm, 厚み 8 mm の市販
石英管を平封じしたもの）に溶解した後、1600°C に保
ちながら約 2 g の Fe_2O_3 を加えて、溶鉄に酸素を飽和
させた。次いで、所定成分のスラグ 100 g を径 45 mm,
高さ 50 mm の鉄カプセルに入れ、溶鉄直上で十分加熱
した後、カプセルの底を溶鉄につけて溶かし、スラグ
を溶鉄上に静かに落下させた。この後所定時間毎に、溶
鉄約 5 g を内径 6 mm の石英管に吸上げ、またスラグ
は径 3 mm の鉄棒に附着させて、約 1 g 採取した。スラ
グは、石英管を粉末にした珪酸、特級炭酸マンガンを
水素気流中で分解して得た酸化マンガン、特級亜硫酸第一
鉄を真空分解して得た酸化鉄、および特級炭酸カルシウ
ムを分解して得た石灰を適宜配合して珪酸坩堝により予
め溶融合成したものを粉末にして用いた。スラグの
 MnO , FeO は EDTA 滴定法により、鉄中の珪素およ
びマンガンは比色法、酸素は真空溶融法により定量し
た。測温には、異種白金ロジューム熱電対を石英保護管
に入れて溶鉄およびスラグに浸漬させた。

III. 実験結果および検討

1) スラッジの $(FeO)\%$ の影響

スラッグの $(\text{FeO})\%$ を約 0·10, 20, 30, 35% の場合の酸素の時間的変化を Fig. 1 に示す。ここで SiO_2 飽和スラッグでは $(\text{SiO}_2) \approx 50\%$ なので、 $(\text{MnO})\% = 50\% - (\text{FeO})\%$ である。この図から明らかのように、 $(\text{FeO})\%$ の少ないものほど酸素減少速度は大きいが、何れも 10~40mn で平衡に達している。Fig. 2 は一例として $(\text{FeO}) \approx 0$ の場合の各成分および反応の進行を示す示数としての $L (= \frac{\text{O}}{(\text{FeO})})$, $K_{\text{Mn}} (= \frac{\text{Mn}}{(\text{FeO}) / (\text{MnO})})$, $K_{\text{Si}} (= \frac{\text{Si}}{(\text{FeO})^2 K_{\text{Mn}}})$ の時間的変化を示したものである。 L , K_{Mn} , K_{Si} の値は 40mn まで減少した後一定を保つている。これらの結果から、全反応の機構として次のように推測される。

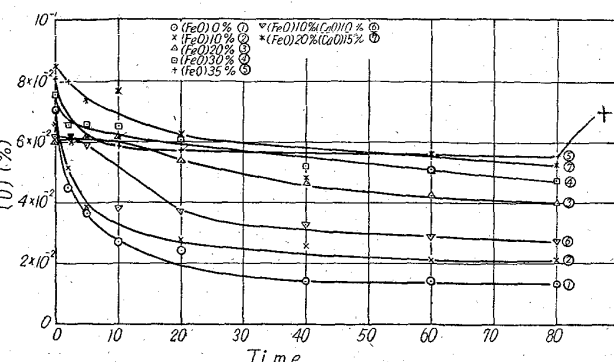
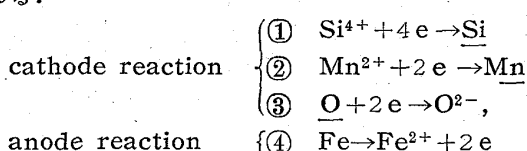


Fig. 1. Influence of slag composition on the rate of deoxidation at 1600°C.